

Multirezonansinės akustinės sistemos kokybės nustatymo algoritmo modeliavimas

V.Giedraitienė, V.Sukackas

Kauno technologijos universitetas

Technologinių procesų metu (naftos, chemijos pramonėje, ūlumokaičiuose ir kt.) ant vamzdžio vidinių paviršių nusėda kietos nuosėdos. Tai neigiamas veiksnys, bloginantis tam tikros sistemos parametrus. Nuosėdų storą reikia kontroliuoti. Bandymai parodė, kad klasikiniai akustiniai storio matavimo prietaisai, kaip antai impulsiniai ar rezonansiniai, šiuo atveju dirba neefektyviai. Prieštūstys yra tos, kad nuosėdų sluoksnis būna korėtas, su ruplėtu paviršiumi. Todėl atspindžiai prieš nuosėdų sluoksną ir po jo nebymūs ir artimi difuziniams.

Pasiūlytas metodas nuosėdų sluoksnio storui nustatyti, kuomet vamzdžio sienelėje padinamos nulinės eilės asimetrinės Lembo bangos - lankstymosi [1]. Naudojamas artimas tačkiniam keitiklis. Jo spinduliuojamos bangos sklinda išilgai geodezinio linijų visomis galimomis kryptimis.

Statmenai vamzdžio ašiai sklindančios bangos interferuoja. Jų dalis tolstant nuo siuntiklio mažėja, tačiau interferenciniai pikai būna toli nuo siuntiklio. Pasiūlytas nuosėdų sluoksnio storio nustatymo prietaisas [2], naudojantis šio tipo bangas.

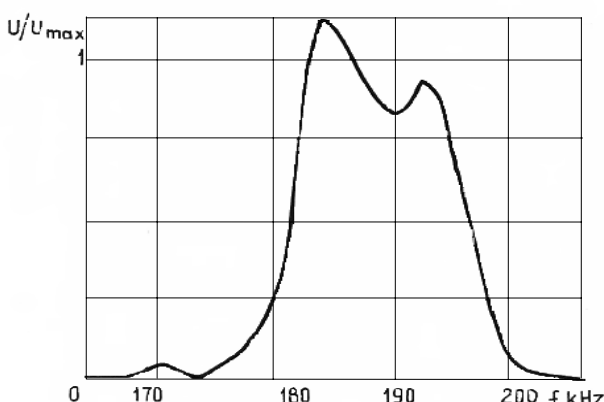
Lankstymosi bangos sklidimo greitis c priklauso nuo sluoksnio stangrumo B ir masės m', tenkančios ploto vienetui:

$$c = \sqrt{2\pi f} \sqrt{\frac{B}{m'}} . \quad (1)$$

Stangrumas savo ruoptu išreiškiamas taip:

$$B = \frac{Ed^3}{12(1-\mu^2)} , \quad (2)$$

čia E - Jungo modulis, μ - Puasono koeficientas, d - sienelės storis.



1 pav. Eksperimentiškai gauta rezonanso superpozicijos kreivė

Atsiradęs nuosėdų sluoksnis turi sukelti šiuos efektus:

1. Bangos greičio pasikeitimą dėl papildomos masės bei dėl geometrinės ir dažninės bangos greičio dispersijos (1 formulė).

2. Didelė bangos slopinimo pokytė.

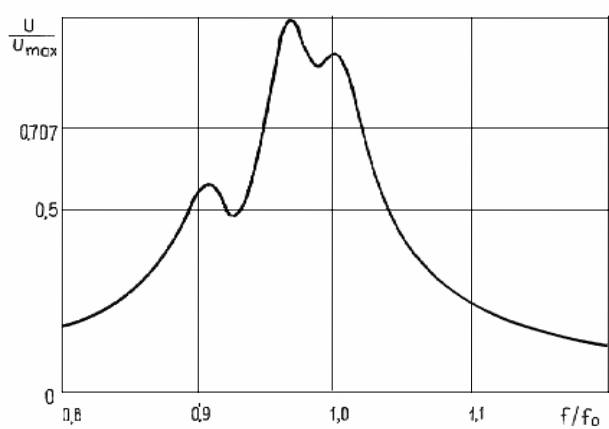
Pirmasis efektas - greičio pasikeitimą - paprastai pradingsta antrajame ir nėra pastebimas dėl didelio rezonansinio piko išplitimo. Todėl nuosėdų storis nustatomas iš sistemos kokybės. Dar vienas efektas - rezonansinis pikas - iškraipomas ir ágyja keletą virðūnių (1 pav.).

Mūsų pasiūlyta hipotezė byloja apie tai, kad rezonansinis pikas iškraipomas akustinei sistemių tapus multirezonansine. Atsitiktinai vamzdžyje susidariusios sritys, turinėjos skirtingus vidutinius nuosėdų storius, rezonuoja skirtinguose dažniuose dėl dispersijos, o galutinė dažninė amplitudės charakteristiką (DACH) formuoja atskirø srièiø charakteristikø superpoziciją.

Nėra nusistovėjæ reikalavimai, koks nuosėdų parametras yra matuotinas: vidutinis ar maksimalus storis ar prijungtoji masė. Ið esmës įtakos kalbama ne apie matavimo prietaisą, bet apie storio indikatoriø.

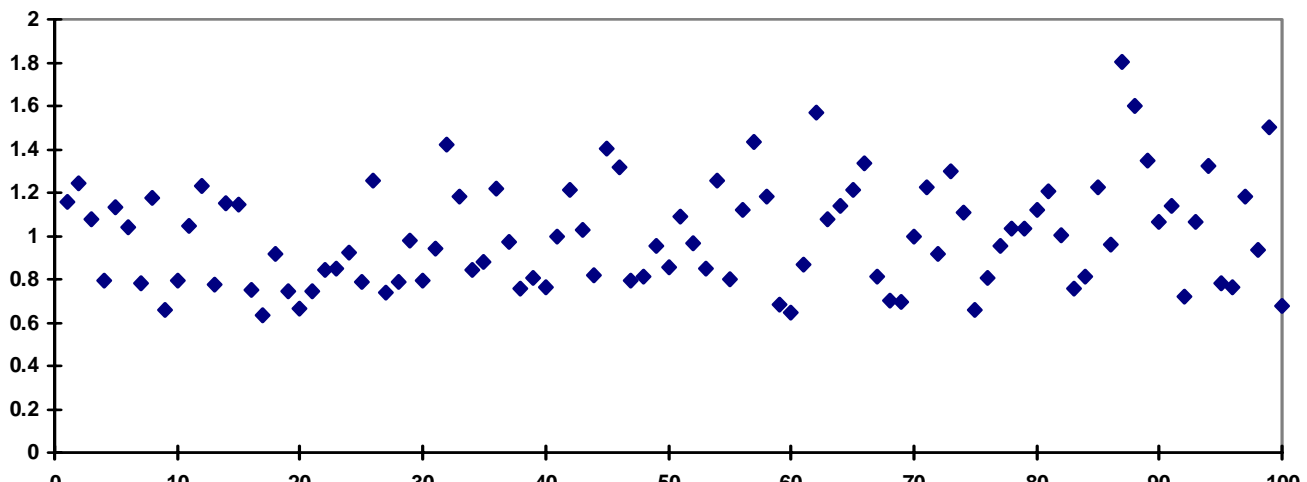
Galimybës sekti ir kontroliuoti nuosėdų susidarymą nebuvo, todėl mes parinkome modeliavimo metodą. Jo esmë ta, kad kelis kartus iðskaièiuojama keleto rezonansinių signalø, kurio dažnis ir amplitudės atsitiktinai kinta, o kokybë pastovi, superpozicija ir jai pritaikomi pasirinkti matavimo algoritmai. Tobuliausias bus tas algoritmas, kuris kartojuant modeliavimą, garantuoja pastoviausià tam tikros kokybės matavimo rezultatą.

Pinomi du klasikiniai kokybės nustatymo metodai - ið ekstremalios amplitudės ir ið juostos ploèio 0,707 lygyje.

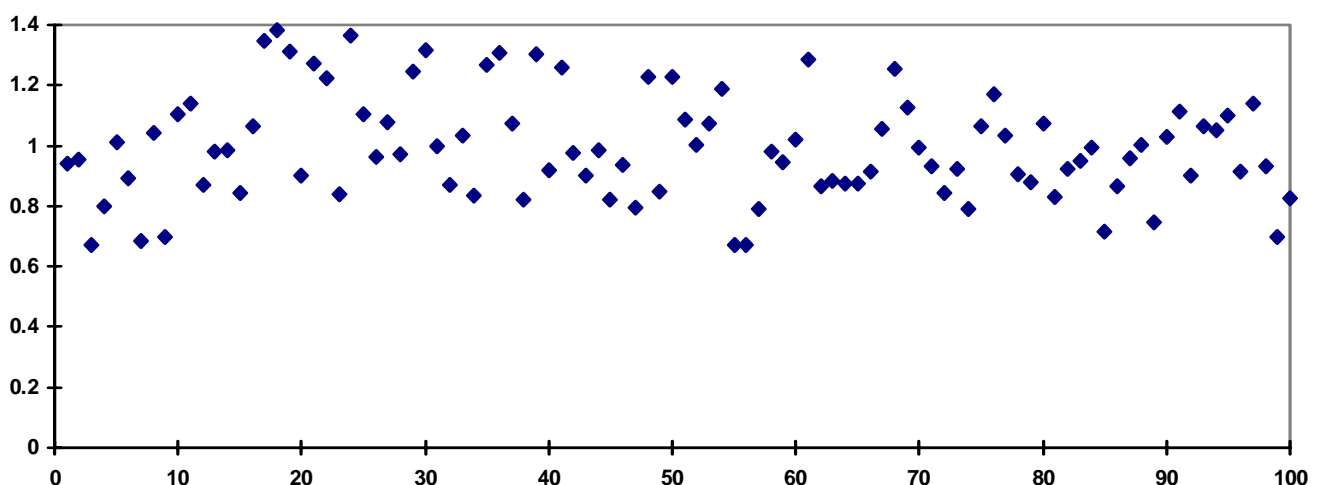


2 pav. Sumodeliuota trijø rezonansø superpozicijos kreivë

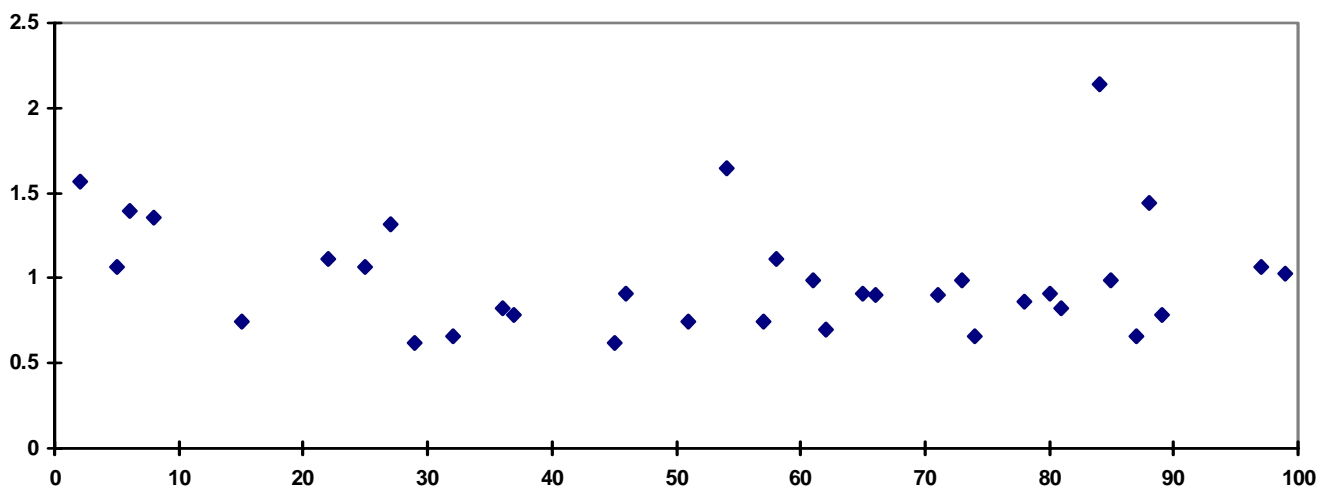
a) maksimali amplitudë



b) parodymai pagal (3) formulæ



c) juostos plotis.



3 pav. Modeliavimo rezultatai. Visi dydžiai normuoti vidurkio atpūvilgiu

Darbuose [2, 3] pasiūlytas tokis algoritmas:

$$n = \frac{\int_{\frac{1}{2}}^{\frac{2}{1}} \left| \frac{dU'}{dt} \right| \frac{dt}{df} df}{\int_{\frac{1}{2}}^{\frac{2}{1}} U' df} = \frac{\int_{\frac{1}{2}}^{\frac{2}{1}} \left| \frac{dU'}{df} \right| df}{\int_{\frac{1}{2}}^{\frac{2}{1}} U' df}, \quad (3)$$

čia n - indikatoriaus parodymai, $U' = U(1-k)$, U -iðėjimo signalo amplitudė, $k=0.1$ - dydis, parenkamas triukðmui slopinti, $U' > 0$, 1 ir 2 - integravimo rëbiai, apimantys pasirinktus rezonansinius pikus. Matome, kad pagrindinæ signalo dalá formuoja didþiausio statumo sritys - pikø ðlaitai.

Modeliuota buvo pagal programà, paraðytà PASCAL kalba. Programos skaièiavimai atlikti, naudojant ðias formules:

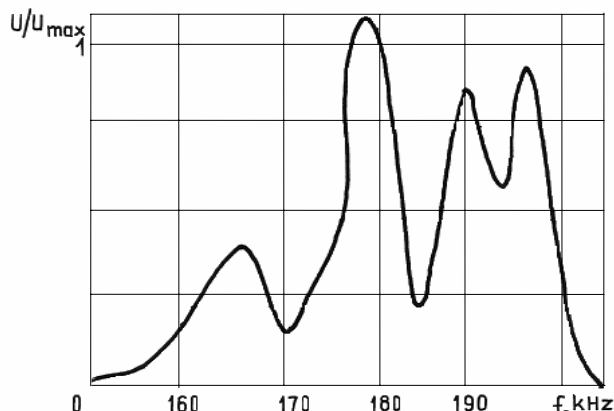
$$U = \frac{A}{\sqrt{1 + \left(\frac{2(f-f_0)}{f_0} Q \right)^2}}, \quad (4)$$

$$Q = \frac{f_0}{2(f_{0.7} - f_0)}, \quad (5)$$

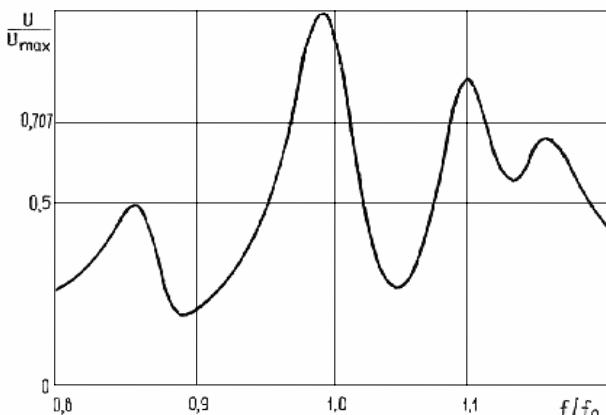
čia U - signalo amplitudė; $f_{0.7}$ - daþnis, atitinkantis 0.7 lygå; f - daþnis, kintantis ribose 0.8÷1.2 bingsniu 0.0025; A ir f_0 - amplitudė ir daþnis, atsitiktinai kintantys; Q - kokybë.

Modeliavimo metu gautos DACH, vizualiai vertinant, visiðkai sutampa su eksperimentinëmis. 2 paveiksle pavaizduota viena ið daugelio stebëto DACH modeliavimo metu. DACH modeliuota kaip trijø rezonansø superpozicija. Vieno ið jø rezonansinis daþnis ir amplitudë priilyginti 1, kitais atvejais daþnis atsitiktinai kito nuo 0.85 iki 1.15, amplitudë - ribose nuo 0.5 iki 1.5.

Kiekvienai ið gautø kreiviø buvo atliekami trys matavimai, t.y. nustatomi trys parametrai: maksimali amplitudë, parodymai n pagal 3 formulæ ir juostos plotis 0.707 lygyje. Visi trys parametrai, normuoti vidurkio atpūvilgiu, parodyti 3 paveiksle. Juostos plotis buvo nustatomas tik kreivëms su vienu maksimumu bei tokioms, kurios turi keletà maksimumø, bet tik du taðkus 0.707 lygyje. Dël minëtø prieþasèiø grafikas,



4 pav. Eksperimentiokai gauta rezonansø superpozicijos kreivë



5 pav. Sumodeliuota penkiø rezonansø superpozicijos kreivë

vaizduojàs juostos ploèio matavimà, turi maþiau taðkø nei kiti du (3 pav., c).

Buvo modeliuotos ir sudëtingesnës DACH. 4 paveiksle parodyta eksperimentiðkai gauta kreivë, 5 paveiksle - sumodeliuota penkiø rezonansø superpozicijos kreivë. Jø panaðumas nekelia abejoniø.

Analizuojant grafikus galima padaryti tokias iðvadas:

1. Visais trim atvejais parodymø sklaida panaði; ji ðiek tiek maþesnë matuojant pasiûlytuju metodu pagal 3 formulæ.

2. Matuoti pagal juostos plotá galima toli graþu ne visais atvejais.

3. Matuojant pagal maksimaliàjà amplitudæ, bûtina ávertinti akustiná ryðá ir kitus veiksnius, turinèius poveikio perdavimo koeficiente dydþiui. Tam reikia nepriklausomø matavimo operacijø.

Taigi pasiûlytasis matavimo pagal 3 formulæ algoritmas turi pranaðumø prieð þinomus metodus, yra gana paprastas ir tinka neðiojamiems nuosëðø storio indikatoriams.

Literatûra

1. **Âreëia Â., Nõeâðeâñ Â.** Èìoâððâðñâððè-âñêèé iâðiä iðâíèé nññðiýfèý ðâðññiæ-âñêèö ðððññiññiñ. //Aðâðâðññiññiñ.-1995. Nî 8. C.44-47.
2. **Volkovas V., Sukackas V., Potapenko V.** Vamzdynuose susidariusiø nuosëðø kontrolës bûdas ir árenginys jo realizavimui.// Lietuvos Respublikos patentas.-1994.-Nr. 12.
3. Elastiniø bangø interferencijos biedinëse nevienalytëse struktûrose fizikiniø diagnostiniø ir informaciiniø savybiø tyrimas. LVMS Fondo tema. Reg. nr. 94-160/7F.- Kaunas:KTU. 1994.

V.Giedraitienë, V.Sukackas

A computer modelling of the quality measurements of acoustical multiresonance systems

Summary

The quality factor of the resonating pipeline with sediments depends on the sediments thickness. The resonant signal consist of several resonance peaks with different frequencies and amplitudes. A computer simulation of the new quality measurement method is described.